

УДК 532.526.4

ПОВЕРХНОСТНОЕ ТРЕНИЕ В ТУРБУЛЕНТНОМ ПОГРАНИЧНОМ СЛОЕ С ПОЛОЖИТЕЛЬНЫМ ГРАДИЕНТОМ ДАВЛЕНИЯ

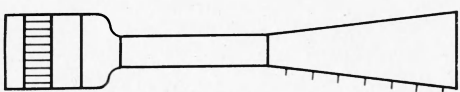
О. Н. Кашинский, С. С. Кутателадзе, В. А. Мухин,
В. Е. Накоряков

(Новосибирск)

На основе измерения касательного напряжения на стенке при течении жидкости в диффузоре электродиффузионным методом предложена зависимость относительного коэффициента трения от форм-параметра аэродинамической кривизны. Проведено исследование интенсивности пульсаций касательного напряжения на стенке и момента возникновения обратных течений. Приведено сравнение результатов измерения коэффициента трения электродиффузионным методом и методом Клаузера.

Для турбулентного пограничного слоя на плоской пластине имеется большое количество надежных экспериментальных данных о поверхностном трении, полученных методом плавающего элемента [1]. Такие измерения недостаточно надежны при течениях с градиентом давления.

Не надежны также другие методы. Соответствующие данные ограничены. В [2] проведено измерение поверхностного трения при течении с градиентом давления методом теплового элемента. Имеется ряд



Фиг. 1

работ, в которых определение касательного напряжения на стенке производилось путем использования так называемого универсального пристенного распределения скорости, численные коэффициенты которого взяты по результатам измерений на плоской пластине и коррелируются только на основании опытов. [2] Соответствующий обзор содержится в [3].

Ниже приводятся данные, полученные при непосредственном измерении трения на стенках диффузора электродиффузионным методом [4, 5].

Рабочий участок был выполнен в виде плоского диффузора с входным сечением $40 \times 100 \text{ mm}^2$, углом расширения 8° и длиной 440 мм. Перед рабочим участком стояла форкамера с трубчатым успокоителем, конфузор с коэффициентом поджатия, равным трем, и предвключенный участок, представляющий собой плоский канал сечением $40 \times 100 \text{ mm}^2$ и длиной 440 мм, служивший для создания на входе в диффузор начальной толщины пограничного слоя. Схема рабочего участка приведена на фиг. 1. Вдоль центральной линии одной из расходящихся стенок диффузора было помещено семь электродиффузионных датчиков. Расстояние между соседними датчиками 55 мм, первый датчик был помещен на расстоянии 440 мм от входа. Чувствительным элементом датчика был торец платиновой проволоки диаметром 0.5 мм или пластинки сечением $0.02 \times 0.2 \text{ mm}^2$. Рабочей жидкостью был раствор 0.005 N ферри- и ферроцианида калия и 0.5 N едкого натра в дистиллированной воде. Для обеспечения постоянства физических свойств температура жидкости поддерживалась постоянной в пределах $25 \pm 0.2^\circ \text{C}$.

Значение касательного напряжения на стенке τ_0 оценивалось по формуле [5]

$$(1) \quad \tau_0 = \frac{1.87\mu}{F^3 l^2 h^3 D^2 c_0^3} I^3 = A I^3$$

где μ — динамическая вязкость; F — число Фарадея; l, h — продольный и поперечный размеры датчика; D — коэффициент диффузии; c_0 — концентрация ионов феррицианида; I — ток датчика.

Расчетная величина коэффициента A определялась из измерений при полностью развитом турбулентном течении в плоском канале. Эталонное значение касательного напряжения рассчитывалось по формуле Блазиуса. Отличие тарировки от точной оценки по формуле (1) не превышало 7 %.

Поскольку для турбулентного потока в диффузоре характерно наличие сильных пульсаций скорости и касательного напряжения на стенке, средняя величина последнего вычислялась по формуле

$$(2) \quad \bar{\tau}_0 = A \bar{I}^3 \cong (I^3 + 3I\bar{I}^2)$$

Среднее значение тока I определялось осреднением показания тока датчика диаметром 0.5 мм, для которого характерна высокая стабильность показаний во времени. Измерения среднего квадрата пульсаций тока I' производились датчиком с размером по потоку 0.02 мм, что практически исключало влияние частоты сигнала на характеристику прибора [4]. Мгновенное значение сигнала этого датчика возводилось в квадрат и затем осреднялось.

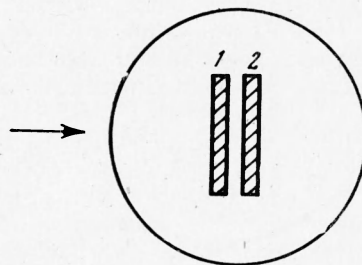
Оценка относительной интенсивности турбулентных пульсаций касательного напряжения на стенке τ_0' производилась по формуле, аналогичной применяемой в термоанемометрии [6]

$$(3) \quad V\sqrt{\bar{\tau}_0'^2}/\bar{\tau}_0 = 3V\sqrt{\bar{I}'^2}/\bar{I}$$

Измерение скорости потока производилось трубкой Пито с размером входного сечения 0.3×0.6 мм². Трубка перемещалась перпендикулярно стенке. Измерения проводились при скоростях набегающего потока 1.1, 1.53 и 2.24 м/сек. Степень турбулентности потока на выходе конфузора $2.2 \div 2.5\%$. Измерения этой величины были проведены с помощью электродиффузационного датчика скорости [5].

Для фиксации момента возникновения обратных течений использовался датчик специальной конструкции, состоящий из двух близко расположенных катодов (фиг. 2). При направлении потока, указанном на фигуре, датчик 2 показывал меньшее значение тока, чем датчик 1, вследствие экранирующего действия диффузационного слоя первого датчика. В случае появления обратного течения меньшее значение тока соответствовало датчику 1. Сравнение величин токов датчиков производилось специальной электронной схемой, которая позволяла также определить время существования обратного течения. Для повышения быстродействия с целью фиксации коротких выбросов обратного течения в момент их зарождения суммарный размер сдвоенного датчика был сделан минимально возможным (50 мкм).

На фиг. 3, а приведены распределения скорости на внешней границе пограничного слоя U и числа Рейнольдса Re^{**} , построенного по толщине потери импульса δ^{**} , по длине рабочего участка при скорости во вход-



Фиг. 2

ном сечении 1.53 м/сек. На фиг. 3, б представлены эти же величины в опытах [2].

Результаты измерений касательного напряжения представлены на фиг. 4 в виде зависимости относительного коэффициента трения

$$\psi = (C_f / C_{f_0}) \text{Re}^{**} = \text{const}$$

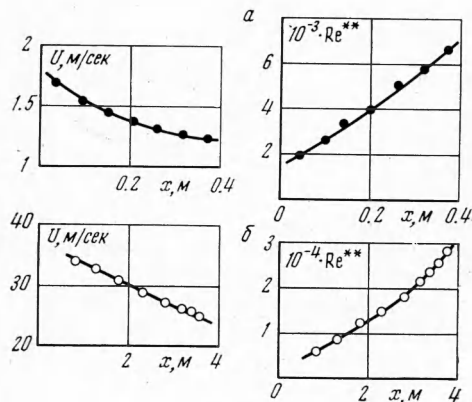
где C_{f_0} — коэффициент трения на плоской пластине, в зависимости от форм-параметра аэродинамической кривизны

$$f = (\delta^{**}/U)(dU/dx).$$

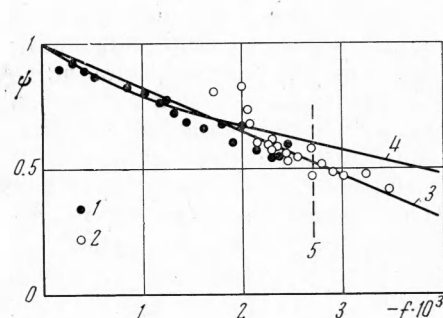
Результаты экспериментов авторов, так же как и результаты опытов [2], хорошо аппроксимируются линейной зависимостью

$$(4) \quad \psi = 1 + 1.77 \cdot 10^2 f$$

Принятые на фиг. 4 обозначения таковы: 1 — данные [2], 2 — данные авторов, 3 — зависимость по формуле (4), 4 — расчет по [7], пунктирная линия 5 соответствует моменту возникновения обратных течений.



Фиг. 3



Фиг. 4

Результаты расчета по [7] достаточно хорошо описывают опытные данные до значений форм-параметра $-f$, равных $2.6 \cdot 10^{-3}$.

С помощью описанного сдвоенного датчика было зафиксировано возникновение выбросов обратного течения малой длительности при значении $-f \approx 2.7 \cdot 10^{-3}$. Время существования обратного течения не превышало 2%; таким образом, наличие выбросов обратного течения не могло существенно повлиять на правильность измерений касательного напряжения на стенке.

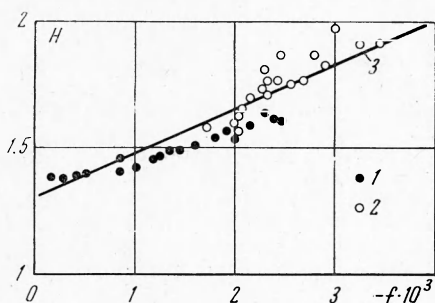
На фиг. 5 приведена связь между форм-параметрами H и f , где H — отношение толщины вытеснения к толщине потери импульса, по данным [2] и авторов. В первом приближении связь между этими величинами можно аппроксимировать линейной зависимостью

$$(5) \quad H = 1.3 - 1.77 \cdot 10^2 f$$

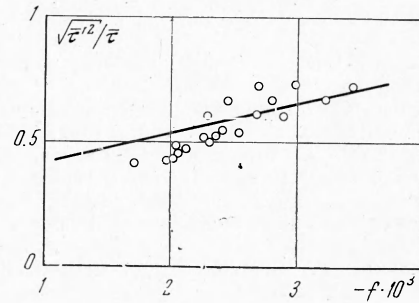
На фиг. 5 точки 1 — данные [2], 2 — данные авторов, 3 — зависимость, рассчитанная по формуле (5).

На фиг. 6 приведены результаты измерения относительной интенсивности турбулентных пульсаций касательного напряжения на стенке $\sqrt{\tau'^2} / \bar{\tau}$, построенные в зависимости от форм-параметра f . С ростом або-

лютной величины f происходит увеличение интенсивности пульсаций касательного напряжения до 0.7, в то время как в безградиентном течении эта величина, как показано в [8], близка к 0.3. Наличие пульсаций большой интенсивности сопровождается образованием «языков» обратного течения, которые появляются при $f = -2.7 \cdot 10^{-3}$. При наличии больших пульсаций необходимо учитывать второй член в выражении (2), который в данных опытах составлял до 15% среднего значения. Результаты [2]



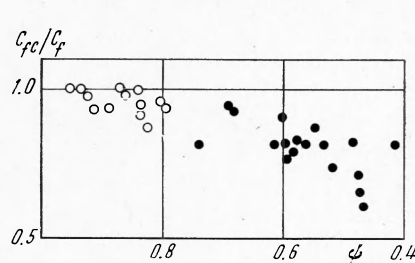
Фиг. 5



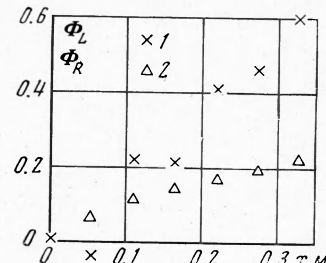
Фиг. 6

на фиг. 4 лежат в среднем ниже зависимости (4), что можно объяснить пре-небрежением вторым членом в (2) при измерении трения методом теплового элемента.

Большинство результатов по измерению поверхностного трения получено с использованием метода Клаузера на основании универсального



Фиг. 7



Фиг. 8

профиля скорости [9]. Сопоставление результатов по измерению коэффициента трения электродиффузионным методом C_f и методом Клаузера \bar{C}_{f_c} , приведенное на фиг. 7, свидетельствует о желательном использовании прямых методов измерения трения при градиентных течениях.

В [2], а также в других экспериментах (см. [3]) наблюдается невыполнение уравнения импульсов в случае градиентных течений. Это явление наблюдалось в описанных экспериментах.

На фиг. 8 приведены проинтегрированные по x левая и правая части уравнения импульсов Φ_L (точки 1) и Φ_R (точки 2), определяемые следующим образом:

$$(6) \quad \Phi_L = \frac{U^2 \delta^{**}}{(U^2 \delta^{**})_0} - 1 + \frac{1}{2} \int_{x_0}^x \frac{\delta^{**}}{\delta_0^{**}} d \left(\frac{U^2}{U_0^2} \right)$$

$$\Phi_R = \int_{x_0}^x \left(\frac{v^*}{U_0} \right)^2 d \left(\frac{x}{\delta_0^{**}} \right)$$

где δ^* — толщина вытеснения, $v_* = \sqrt{\tau_0/\rho}$ — динамическая скорость, ρ — плотность жидкости, индексом 0 отмечены величины в точке, соответствующей первому датчику $x = x_0$, при скорости набегающего потока 1.53 м/сек.

Поступила 11 VI 1974

ЛИТЕРАТУРА

1. Schulz-Cgrunow F. Neues Reibungswiderstandsgesetz für glatte Platten. Luftfahrt forschnung, 1940, Bd 17, N. 8.
2. Ludwieg H., Tillmann W. Untersuchungen über die Wandschubspannung in turbulanten Reibungsschichten. Ingr-Arch., 1949, Bd 17, N. 4.
3. Computation of turbulent boundary layers. AFOSR — IFP — Stanford Conference. 1968. Proceedings, vol. 1, 2. Stanford, Calif., Stanford Univ., 1969.
4. Кутателадзе С. С., Бурдуков А. П., Накоряков В. Е., Кузьмин В. А. Применение электрохимического метода измерения трения в гидродинамике двухфазных сред. В сб. «Тепло- и массоперенос», т. 2. Минск, «Наука и техника», 1968.
5. Mizushima T. Electrochemical method in transport phenomena. Advances in heat transfer, vol. 7. N. Y., Acad. Press., 1971.
6. Хинце И. О. Тurbulentность. М., Физматгиз, 1963.
7. Кутателадзе С. С., Леонтьев А. И. Тепломассообмен и трение в турбулентном пограничном слое. М., «Энергия», 1972.
8. Klebanoff P. S. Characteristics of turbulence in a boundary layer with zero pressure gradient, NACA, 1955, Rept № 1247.
9. Ромма И. К. Турбулентный пограничный слой в несжимаемой жидкости. Л., «Судостроение», 1967.